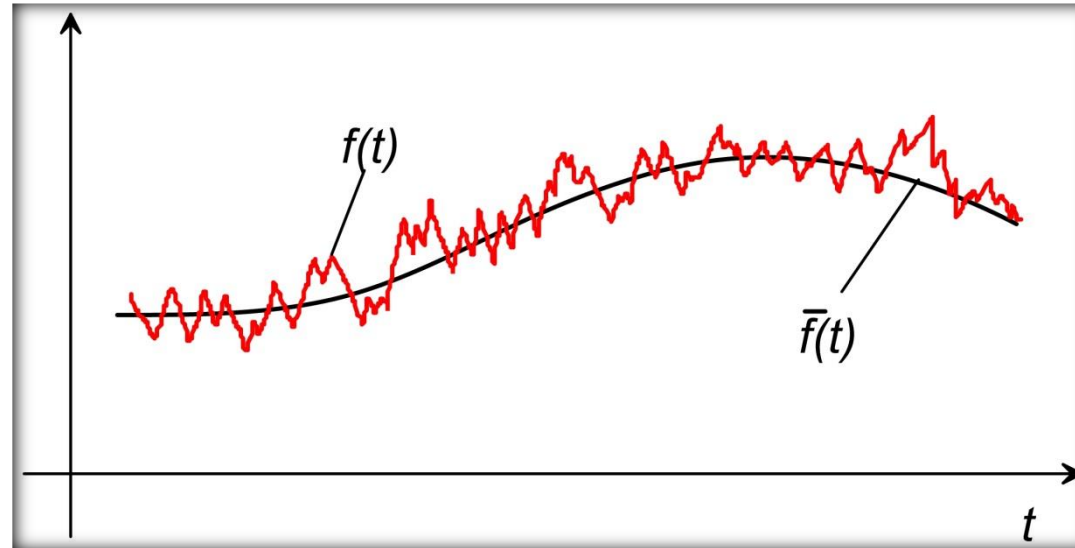


WYKŁAD 5
ELEMENTY TEORII WARSTWY
PRZYŚCIENNEJ – CZĘŚĆ 2

Podstawy modelowania przepływów turbulentnych

Dekompozycja Reynoldsa



$$f = \bar{f} + f'$$

srednia pulsacja

Zakładamy, że procedura uśredniania spełnia warunek

$$\overline{\bar{f}} = \bar{f} \Rightarrow \overline{f'} = 0$$

Uśrednianie Reynoldsa

Przepływ niestacjonarny (wolno zmienny trend przepływu średniego)

$$\bar{f}(t, \mathbf{x}) = \frac{1}{2T} \int_{t-T}^{t+T} f(\tau, \mathbf{x}) d\tau$$

Czas uśredniania – mały w porównaniu ze „stałą czasową” średniego trendu, duży w porównaniu z charakterystycznym czasem fluktuacji.

W przypadku przepływu „statystycznie ustalonego”:

$$\bar{f}(\mathbf{x}) = \lim_{T \rightarrow \infty} \frac{1}{2T} \int_{t-T}^{t+T} f(\tau, \mathbf{x}) d\tau$$

Przemienność operacji różniczkowania i uśredniania

$$\overline{\partial_{x_k} f(t, \mathbf{x})} = \frac{1}{2T} \int_{t-T}^{t+T} \partial_{x_k} f(\tau, \mathbf{x}) d\tau = \partial_{x_k} \left[\frac{1}{2T} \int_{t-T}^{t+T} f(\tau, \mathbf{x}) d\tau \right] = \partial_{x_k} \bar{f}(t, \mathbf{x})$$

$$\begin{aligned} \overline{\partial_t f(t, \mathbf{x})} &= \frac{1}{2T} \int_{t-T}^{t+T} \partial_t f(\tau, \mathbf{x}) d\tau = \frac{1}{2T} [f(t+T, \mathbf{x}) - f(t-T, \mathbf{x})] = \\ &= \frac{1}{2T} \left[\partial_t \int_0^{t+T} f(\tau, \mathbf{x}) d\tau - \partial_t \int_0^{t-T} f(\tau, \mathbf{x}) d\tau \right] = \partial_t \left[\frac{1}{2T} \int_{t-T}^{t+T} f(\tau, \mathbf{x}) d\tau \right] = \partial_t \bar{f}(t, \mathbf{x}) \end{aligned}$$

Wyprowadzenie uśrednionych r-nań Reynoldsa (RANS, URANS, przypadek nieściśliwy)

Punkt wyjścia ...

$$\begin{cases} \frac{\partial}{\partial t} \mathbf{v}_j + \frac{\partial}{\partial x_k} (\mathbf{v}_j \mathbf{v}_k) = -\frac{1}{\rho} \frac{\partial}{\partial x_j} p + \nu \frac{\partial^2}{\partial x_k \partial x_k} \mathbf{v}_j \\ \frac{\partial}{\partial x_j} \mathbf{v}_j = 0 \end{cases}$$

Dekompozycja Reynoldsa ...

$$v_k = \bar{v}_k + v'_k \quad , \quad p = \bar{p} + p'$$

Podstawiamy i stosujemy uśrednienie ...

$$\frac{\partial}{\partial t} (\bar{v}_j + v'_j) + \frac{\partial}{\partial x_k} [(\bar{v}_j + v'_j)(\bar{v}_k + v'_k)] = -\frac{1}{\rho} \frac{\partial}{\partial x_j} (\bar{p} + p') + \nu \frac{\partial^2}{\partial x_k \partial x_k} (\bar{v}_j + v'_j)$$

$$\frac{\partial}{\partial t} \underbrace{(\bar{v}_j + v'_j)}_{=\bar{v}_j} + \frac{\partial}{\partial x_k} \underbrace{(\bar{v}_j \bar{v}_k + v'_j \bar{v}_k + v'_k \bar{v}_j + v'_j v'_k)}_{=\bar{v}_j \bar{v}_k + \overline{v'_j v'_k}} = -\frac{1}{\rho} \frac{\partial}{\partial x_j} \underbrace{(\bar{p} + p')}_{=\bar{p}} + \nu \frac{\partial^2}{\partial x_k \partial x_k} \underbrace{(\bar{v}_j + v'_j)}_{=\bar{v}_j}$$

Otrzymujemy

$$\rho \left[\frac{\partial}{\partial t} \bar{v}_j + \frac{\partial}{\partial x_k} (\bar{v}_j \bar{v}_k) \right] = -\frac{\partial}{\partial x_j} \bar{p} + \mu \frac{\partial^2}{\partial x_k \partial x_k} \bar{v}_j - \rho \frac{\partial}{\partial x_k} \overline{v'_j v'_k}$$

$$\frac{\partial}{\partial x_j} (\bar{v}_j + v'_j) = 0 \quad \Rightarrow \quad \frac{\partial}{\partial x_j} \bar{v}_j = 0$$

Człon lepki możemy napisać w postaci (płyn newtonowski) ...

$$\mu \frac{\partial^2}{\partial x_k \partial x_k} \bar{v}_j = \frac{\partial}{\partial x_k} \left[2\mu \frac{1}{2} \left(\frac{\partial}{\partial x_k} \bar{v}_j + \frac{\partial}{\partial x_j} \bar{v}_k \right) \right] = \frac{\partial}{\partial x_k} 2\mu \bar{D}_{jk} = \frac{\partial}{\partial x_k} \bar{S}_{jk}$$

Zdefiniujmy wielkość (gęstość masowa energii turbulencji) $k = \frac{1}{2} \overline{v'_j v'_j}$ oraz tensor Reynoldsa ...

$$R_{jk} = -\rho \overline{v'_j v'_k} \Rightarrow \text{tr} \mathbf{R} = -\rho \overline{v'_j v'_j} = -2\rho k$$

Część dewiatorowa to tensor naprężeń turbulentnych ...

$$T_{jk} = R_{jk} - \frac{1}{3} \text{tr} \mathbf{R} \delta_{jk} = -\rho \overline{v'_j v'_k} + \frac{2}{3} \rho k \delta_{jk}$$

Oczywiście, ślad tensora \mathbf{T} jest równy zeru.

Dwa ostatnie składniki w prawej stronie RANS można zapisać w postaci

$$\mu \frac{\partial^2}{\partial x_k \partial x_k} \bar{v}_j - \rho \frac{\partial}{\partial x_k} \overline{v'_j v'_k} = - \frac{\partial}{\partial x_j} \bar{p} + \frac{\partial}{\partial x_k} \underbrace{(\bar{S}_{jk} + T_{jk})}_{S_{jk}^T} - \frac{2}{3} \rho k \delta_{jk}$$

co pozwala zapisać RANS następująco

$$\rho \left[\frac{\partial}{\partial t} \bar{v}_j + \frac{\partial}{\partial x_k} (\bar{v}_j \bar{v}_k) \right] = - \frac{\partial}{\partial x_j} \underbrace{(\bar{p} + \frac{2}{3} \rho k)}_{\substack{\text{cisnienie} \\ \text{turbulentne}}} + \frac{\partial}{\partial x_k} S_{jk}^T$$

Hipoteza lepkości turbulentnej

Dla tensora naprężeń turbulentnych brakuje „związku konstytutywnego” – mamy dodatkowe 6 niewiadomych pól, ale nie mamy dodatkowych równań! Jest to tzw. **problem domknięcia**.

Hipoteza: tensor naprężeń turbulentnych da się wyrazić analogicznie jak naprężenia molekularne ...

$$\mathbf{T} = 2\mu_T \bar{\mathbf{D}} \quad \Rightarrow \quad \mathbf{S}^T = 2(\mu + \mu_T) \bar{\mathbf{D}}$$

UWAGA:

- Tensor prędkości $\bar{\mathbf{D}}$ deformacji został obliczony dla **średniego pola prędkości**
- **Postulowany związek jest matematycznie spójny** bowiem oba tensory \mathbf{T} i $\bar{\mathbf{D}}$ mają zerowe ślady
- Wielkość μ_T - zwana **lepkością turbulentną** – nie jest fizyczną cechą płynu tylko charakterystyką przepływu i zależna od miejsca (i – na ogół – również czasu).

Wniosek: nadal potrzebny jest sposób wyznaczenia lepkości turbulentnej w oparciu o wielkości charakteryzujące przepływ średni.

Turbulentna warstwa przyścienna

Założenia:

1. Przepływ zewnętrzny - 2D
2. Przepływ uśredniony w TWP – 2D
3. Obowiązują założenia przyjęte przy wyprowadzaniu „laminarnego” r-nia Prandtla.

Przyjmując tradycyjne oznaczenia zapiszmy uśrednione równanie pędu na kierunku x :

$$\rho(\bar{u} \frac{\partial \bar{u}}{\partial x} + \bar{v} \frac{\partial \bar{u}}{\partial y}) = -\frac{\partial \bar{p}}{\partial x} + \underbrace{\frac{\partial}{\partial x} (\mu \frac{\partial \bar{u}}{\partial x} - \rho \overline{u'^2})}_I + \underbrace{\frac{\partial}{\partial y} (\mu \frac{\partial \bar{u}}{\partial y} - \rho \overline{u'v'})}_{II} + \underbrace{\frac{\partial}{\partial z} (-\rho \overline{u'v'})}_{III}$$

Zakładamy, że $II \gg I, III$ co pozwala uprościć równanie do postaci

$$\rho(\bar{u} \frac{\partial \bar{u}}{\partial x} + \bar{v} \frac{\partial \bar{u}}{\partial y}) = -\frac{\partial \bar{p}}{\partial x} + \frac{\partial}{\partial y} (\mu \frac{\partial \bar{u}}{\partial y} - \rho \overline{u'v'})$$

Obowiązuje również (uśrednione) r-nie ciągłości

$$\frac{\partial \bar{u}}{\partial x} + \frac{\partial \bar{v}}{\partial y} = 0$$

Wprowadzamy **lepkość turbulentną**

$$-\rho \overline{u'v'} = \rho \nu_T \frac{\partial \bar{u}}{\partial y}$$

Równanie ruchu w TWP przyjmuje postać

$$\rho \left(\bar{u} \frac{\partial \bar{u}}{\partial x} + \bar{v} \frac{\partial \bar{u}}{\partial y} \right) = -\frac{\partial \bar{p}}{\partial x} + \frac{\partial}{\partial y} \left[(\mu + \mu_T) \frac{\partial \bar{u}}{\partial y} \right]$$

W miarę zbliżania się do ściany pulsacje prędkości zanikają zatem na ścianie lepkość turbulentna znika $\mu_T = 0$, zatem naprężenia na ścianie są równe $\tau_w = \mu \frac{\partial \bar{u}}{\partial y} \Big|_{y=0}$.

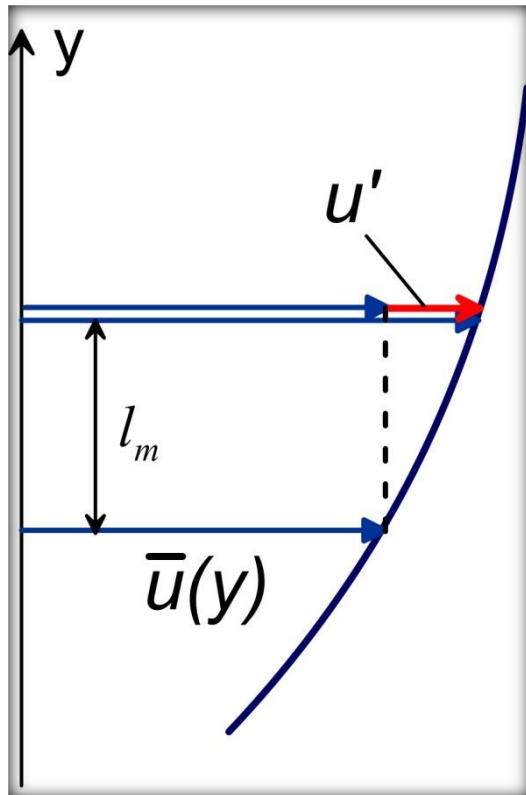
WNIOSEK: równanie całkowe von Karmana ma formalnie identyczną postać jak dla LWP !

$$\frac{d}{dx} [\bar{U}^2(x) \bar{\theta}(x)] + \bar{U}(x) \bar{U}'(x) \bar{\delta}_*(x) = \frac{1}{\rho} \tau_w$$

lub

$$\frac{d}{dx} \bar{\theta} + (2 + \bar{H}) \frac{\bar{U}'}{\bar{U}} \bar{\theta} = \frac{C_f}{2}$$

Hipoteza drogi mieszania (Prandtl)



Rozumując przez analogię do mikroskopowego opisu transportu pędu w teorii, Prandtl zaproponował prosty model wiążący lepkość turbulentną z ruchem średnim w obszarze TWP.

Założmy, że pewna niewielka porcja płynu przemieszcza się „kolektywnie” pod wpływem fluktuacji składowej prędkości normalnej do ściany na odległość równą średnio l_m ($l_m \ll \delta$) zachowując swoją prędkość poziomą. Takie przemieszczenie spowoduje pojawienie się fluktuacji składowej poziomej równe

$$u' = \bar{u}(y + l_m) - \bar{u}(y) \approx \frac{\partial \bar{u}}{\partial y} l_m$$

Jeżeli założymy, że

$$v' \approx u' \Rightarrow v' \approx \frac{\partial \bar{u}}{\partial y} l_m$$

to

$$-\overline{u'v'} \approx l_m^2 \left| \frac{\partial \bar{u}}{\partial y} \right| \frac{\partial \bar{u}}{\partial y}$$

Wynika stąd, że kinematyczna lepkość turbulentna jest proporcjonalna do lokalnego gradientu prędkości średniej i kwadratu długości drogi mieszania

$$\nu_T \sim l_m^2 \left| \frac{\partial \bar{u}}{\partial y} \right|$$

Ile wynosi droga mieszania w TWP? Prandtl założył, że (niezbyt daleko od ściany) droga ta rośnie proporcjonalnie do odległości od ściany, czyli $l_m \sim y$. Wynika stąd, że

$$\nu_T \sim y^2 \left| \frac{\partial \bar{u}}{\partial y} \right|$$

Zobaczmy za chwile, że założenie to prowadzi do wniosku o istnieniu obszaru wewnątrz TWP, gdzie profil prędkości średniej opisany jest funkcją logarytmiczną.

Struktura TWP

W najbliższym sąsiedztwie ściany, turbulencja „zamiera”, a naprężenia styczne wynikają wyłącznie z lepkości molekularnej. Obszar ten nazywamy **subwarstwą laminarną (SL)**. W SL prędkość styczna narasta liniowo w odległości, a naprężenia styczne są praktycznie stałe i równe naprężeniom na samej ścianie

$$\tau = \mu \frac{\partial \bar{u}}{\partial y} = \tau_w \quad \Rightarrow \quad \bar{u} = (\tau_w / \mu) y$$

Powyżej SL lepkość turbulentna szybko rośnie w pewnej odległości od ściany staje się porównywalna, a dalej – o wiele większa niż lepkość molekularna. Zgodnie z hipotezą drogi mieszania, zapiszmy

$$\tau \approx y^2 \left(\frac{\partial \bar{u}}{\partial y} \right)^2 \rho$$

Ponieważ naprężenia zmieniają się z odległością w sposób ciągły to tuż nad SL musi zachodzić przybliżona równość

$$\frac{\partial \bar{u}}{\partial y} \sim \sqrt{\frac{\tau_w}{\rho}} \frac{1}{y}$$

Wprowadźmy wielkość (o wymiarze prędkości)

$$V_* = \sqrt{\frac{\tau_w}{\rho}}$$

oraz bezwymiarową odległość od ściany

$$y^+ = \frac{yV_*}{\nu}$$

Zauważmy, że liniowy rozkład prędkości wewnątrz SL możemy zapisać wzorem

$$\frac{\bar{u}(y)}{V_*} = \frac{yV_*}{\nu} \equiv y^+$$

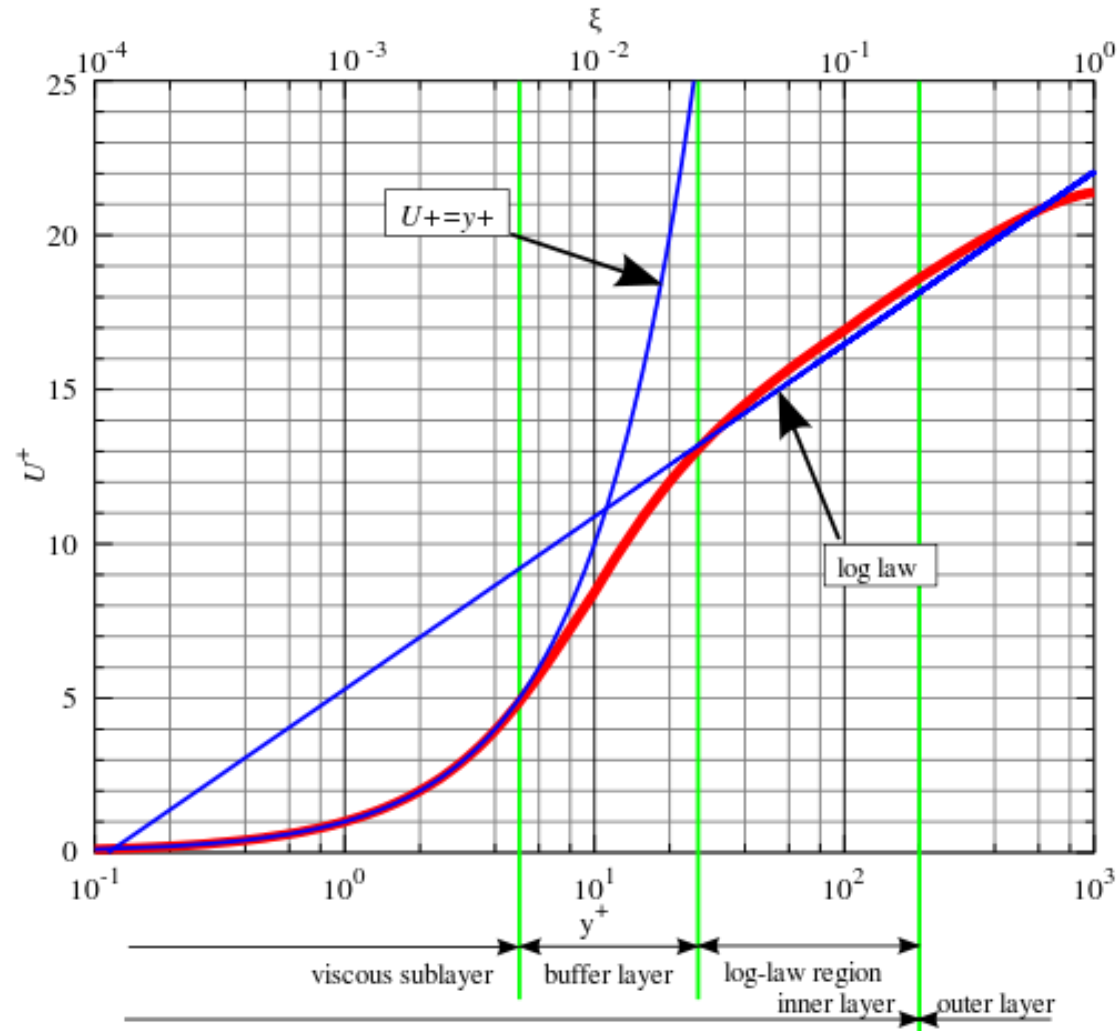
Całkujemy zależność otrzymaną dla prędkości średniej z hipotezy drogi mieszania. Otrzymany profil można zapisać wzorem

$$\frac{\bar{u}(y)}{V_*} = K \ln \frac{yV_*}{\nu} + C$$

Stałe K i C wyznaczono eksperymentalnie. Okazuje się, że dowolna TWP zawiera obszar, w którym profil prędkości bardzo dobrze opisany powyższym wzorem i to dla **uniwersalnych wartości stałych K i C** ! . Zwykle, wzór ten zapisywany jest w postaci

$$\frac{\bar{u}(y)}{V_*} = \frac{1}{\kappa} \ln \frac{yV_*}{\nu} + C$$

gdzie $\kappa = 0.41$ (tzw. stała Karmana) i $C \approx 5.25$.

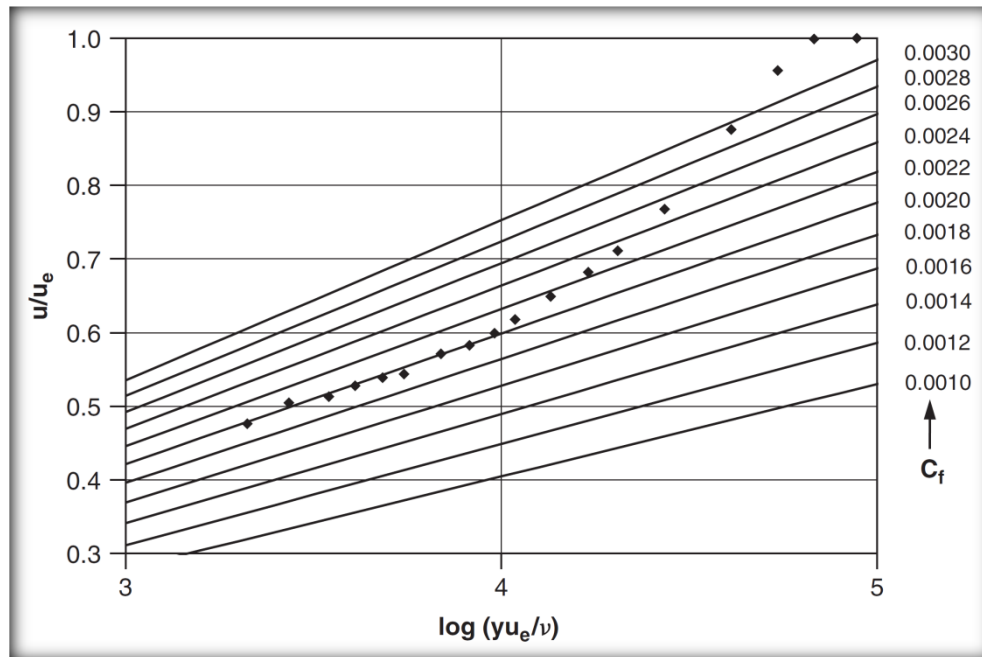


- Subwarstwa laminarna $y^+ \leq 5$
- Warstwa buforowa $5 < y^+ < 30 \div 50$
- Warstwa logarytmiczna $50 < y^+ < 150 \div 200$

Łącznie 15-20% grubości całej TWP, reszta to tzw. **warstwa zewnętrzna**.

Wykorzystanie logarytmicznego prawa ścianki do pośredniego wyznaczania naprężeń na ścianie

Bezpośredni pomiar gradientu prędkości przy samej ścianie – praktycznie niewykonalny (grubość SL to ułamki procenta całej TWP, może być rzędu dziesiątek mikronów).



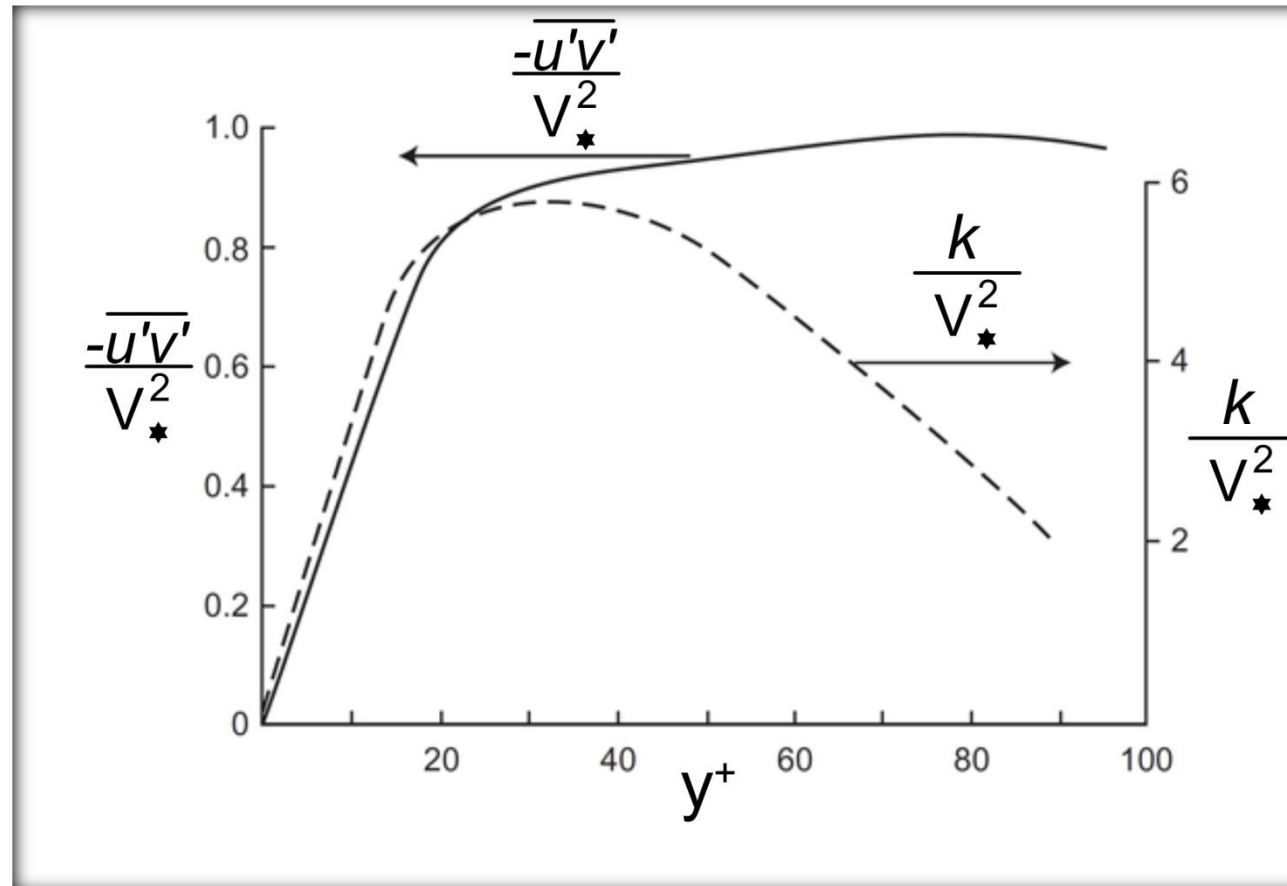
Metoda pośrednia

$$\frac{\bar{u}}{U} = \frac{V_*}{U} \frac{1}{\kappa} \ln\left(\frac{yU}{\nu}\right) + \frac{V_*}{U} \frac{1}{\kappa} \ln\left(\frac{V_*}{U}\right) + \frac{V_*}{U} C$$

$$C_f = \frac{2\tau_w}{\rho U^2} = 2\left(\frac{V_*}{U}\right)^2 \Rightarrow \frac{V_*}{U} = \sqrt{\frac{1}{2}C_f}$$

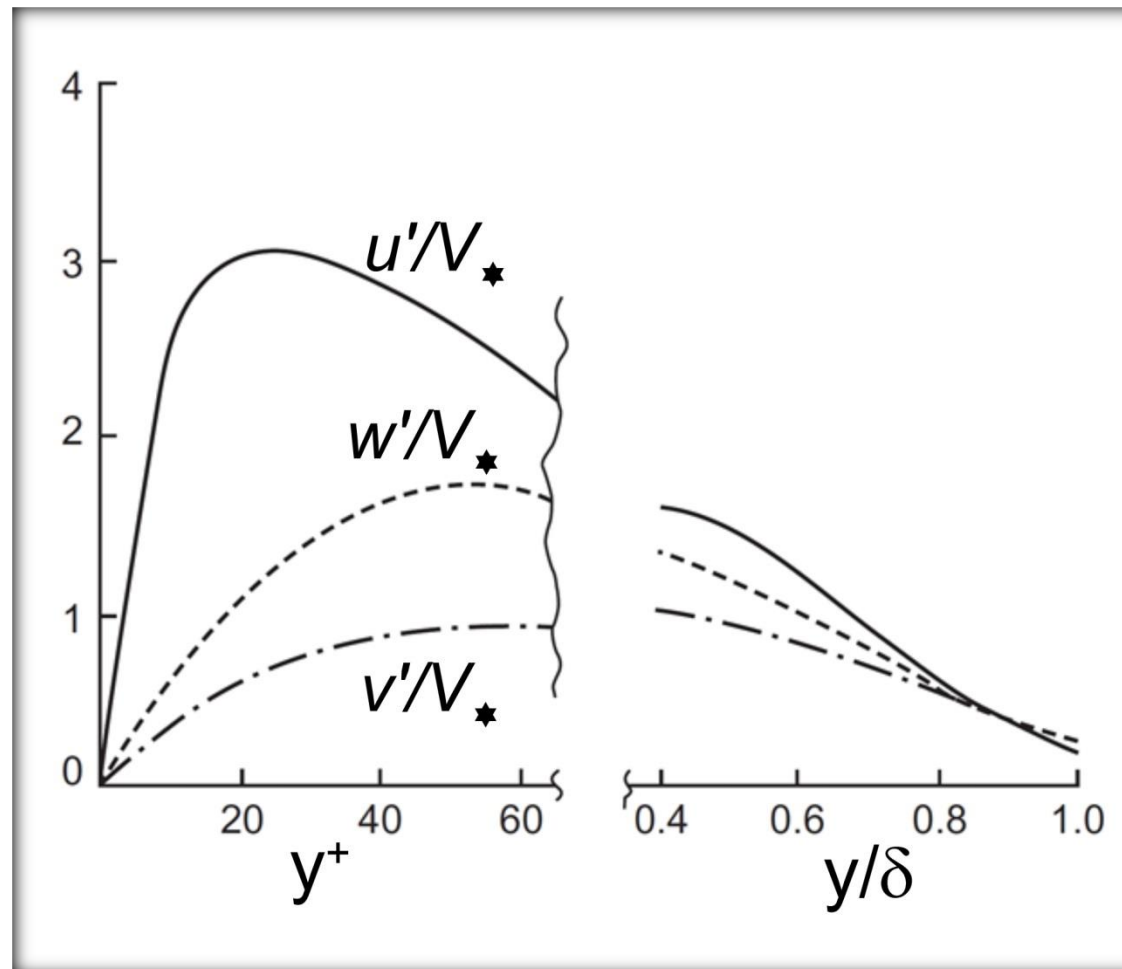
$$\frac{\bar{u}}{U} = \underbrace{\sqrt{\frac{1}{2}C_f} \frac{1}{\kappa}}_{A(C_f)} \ln\left(\frac{yU}{\nu}\right) + \underbrace{\sqrt{\frac{1}{2}C_f} \left[\frac{1}{\kappa} \ln\left(\sqrt{\frac{1}{2}C_f}\right) + C \right]}_{B(C_f)}$$

Profil naprężeń turbulentnych i energii turbulentnej w TWP



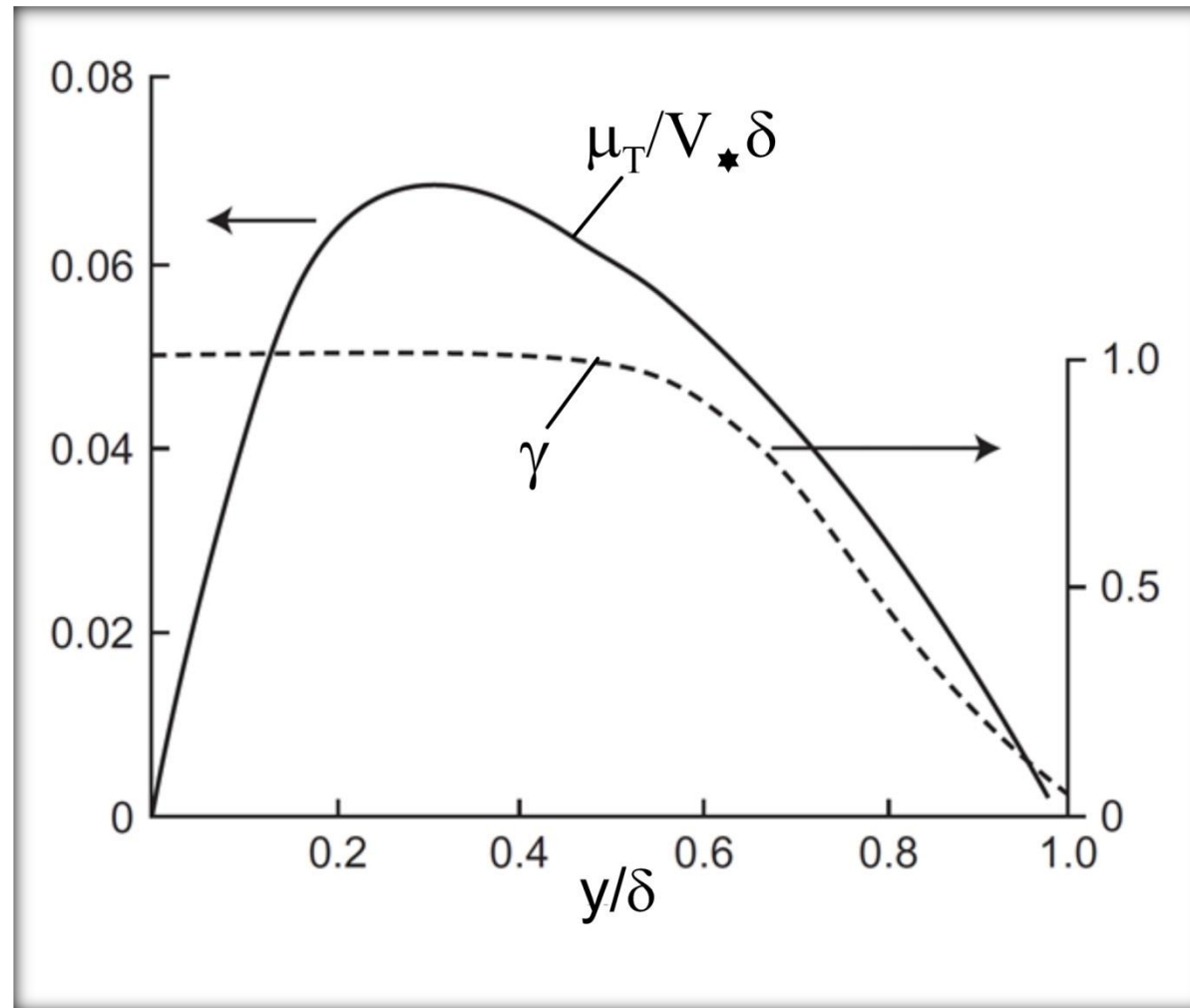
(źródło: E.L. Houghton et al.: Aerodynamics for Engineering Students, 6th Ed., Elsevier Ltd., 2013)

Profil średniej amplitudy pulsacji prędkości w turbulentnej w TWP



(źródło: E.L. Houghton et al.: Aerodynamics for Engineering Students, 6th Ed., Elsevier Ltd., 2013)

Profil lepkości turbulentnej i współczynnika intermitencji w turbulentnej w TWP



(źródło: E.L. Houghton et al.: Aerodynamics for Engineering Students, 6th Ed., Elsevier Ltd., 2013)

TWP na płaskiej płycie

Chociaż prawdziwe powierzchnie nośne nie są z reguły płaskie, wyniki uzyskane dla tego przypadku są dość użyteczne, przynajmniej jako wstępne przybliżenie.

Wynik 1 – prawo 1/7 (Prandtl).

Profil prędkości w TWP na płaskiej płycie (zerowy gradient ciśnienia) opisane jest w przybliżeniu wzorem (wyprowadzenie AforES str. 522)

$$\frac{u}{U_\infty} = \left(\frac{y}{\delta} \right)^{1/7}$$

Uwaga: wzór ten nie obowiązuje w bezpośrednim sąsiedztwie ściany (osobliwość!).
Wzór ten daje zupełnie sensowną dokładność dla zakresu liczb Reynoldsa $10^6 < Re_x < 10^7$

Wynik 2: Naprężenia styczne i lokalny współczynnik tarcia można wyliczyć ze wzorów

$$\tau_w \approx 0.0234 \rho U_\infty^{7/4} (\nu/y)^{1/4} \quad , \quad C_f = \frac{\tau_w}{\frac{1}{2} \rho U_\infty^2} = 0.0468 \left(\frac{\nu}{U_\infty \delta} \right)^{1/4} = \frac{0.0468}{\text{Re}_\delta^{1/4}}$$

Wynik 3: Tempo wzrostu grubości TWP

Z równania von Karmana zapisanego dla TWP bez gradientu ciśnienia mamy

$$\frac{d\theta}{dx} = \frac{C_f}{2}$$

Przyjmując za prawdziwe prawo 1/7, możemy obliczyć jaką częścią grubości warstwy δ jest grubość straty pędu θ , a mianowicie

$$\theta = \delta \int_0^1 \frac{u}{U_\infty} \left(1 - \frac{u}{U_\infty}\right) d\bar{y} = \delta \int_0^1 \bar{y}^{1/7} (1 - \bar{y}^{1/7}) d\bar{y} = \frac{7}{72} \delta$$

Zatem

$$\frac{d\delta}{dx} = \frac{72C_f}{14} = 0.2406 \left(\frac{\nu}{U_\infty \delta} \right)^{1/4}$$

Przy założeniu, że w punkcie $x = 0$ TWP ma zerową grubość, otrzymujemy

$$\delta(x) \approx 0.383 \left(\frac{\nu}{U_\infty} \right)^{1/5} x^{4/5}$$

lub, równoważnie

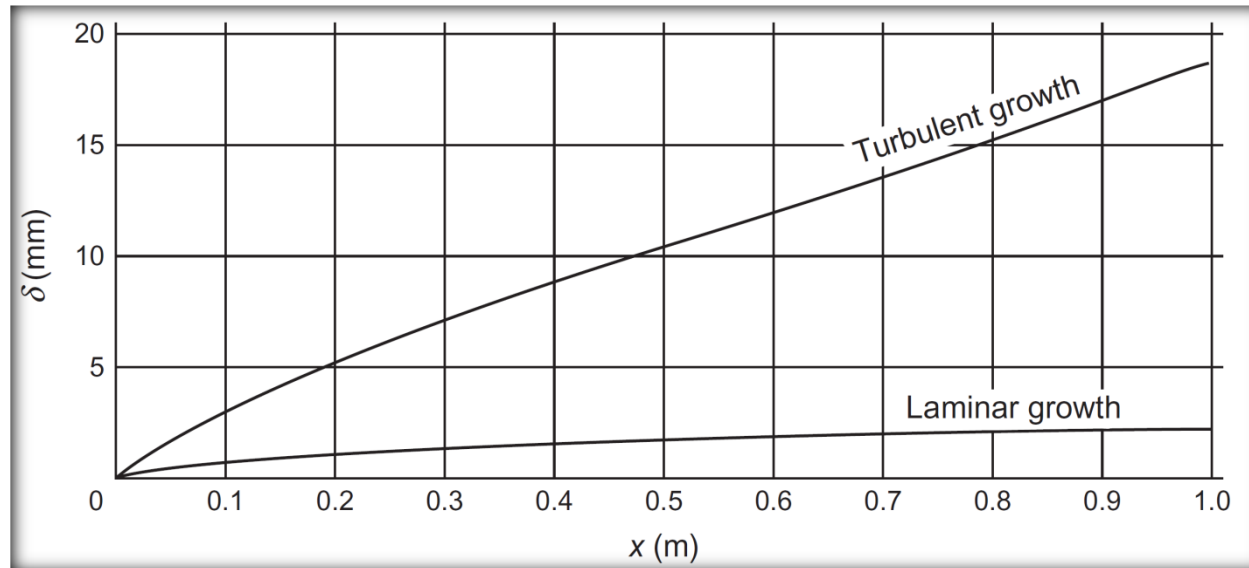
$$\frac{\delta(x)}{x} \approx 0.383 \left(\frac{\nu}{U_\infty x} \right)^{1/5} = \frac{0.383}{\text{Re}_x^{1/5}}$$

Posługując się prawem „jednej siódmej” możemy obliczyć również grubość straty wydatku. Wynosi ona

$$\delta_* = 0.125\delta$$

Zauważmy, że współczynnik kształtu $H \approx 1.3$ jest o wiele mniejszy niż w LWP.
Ostatecznie, otrzymujemy zależności

$$\frac{\delta_*(x)}{x} = \frac{0.0479}{\text{Re}_x^{1/5}}, \quad \frac{\theta(x)}{x} = \frac{0.0372}{\text{Re}_x^{1/5}}$$



Porównanie tempa przyrostu grubości LWP i TWP na płaskiej płycie (źródło: E.L. Houghton et al.: Aerodynamics for Engineering Students, 6th Ed., Elsevier Ltd., 2013)

Wynik 4: Lokalny i całkowity współczynnik oporu tarcia

Podstawiając wzór dla grubości TWP do uzyskanej wcześniej formuły dla lokalnego współczynnika tarcia otrzymujemy

$$C_f = \frac{0.0595}{\text{Re}_x^{1/5}}$$

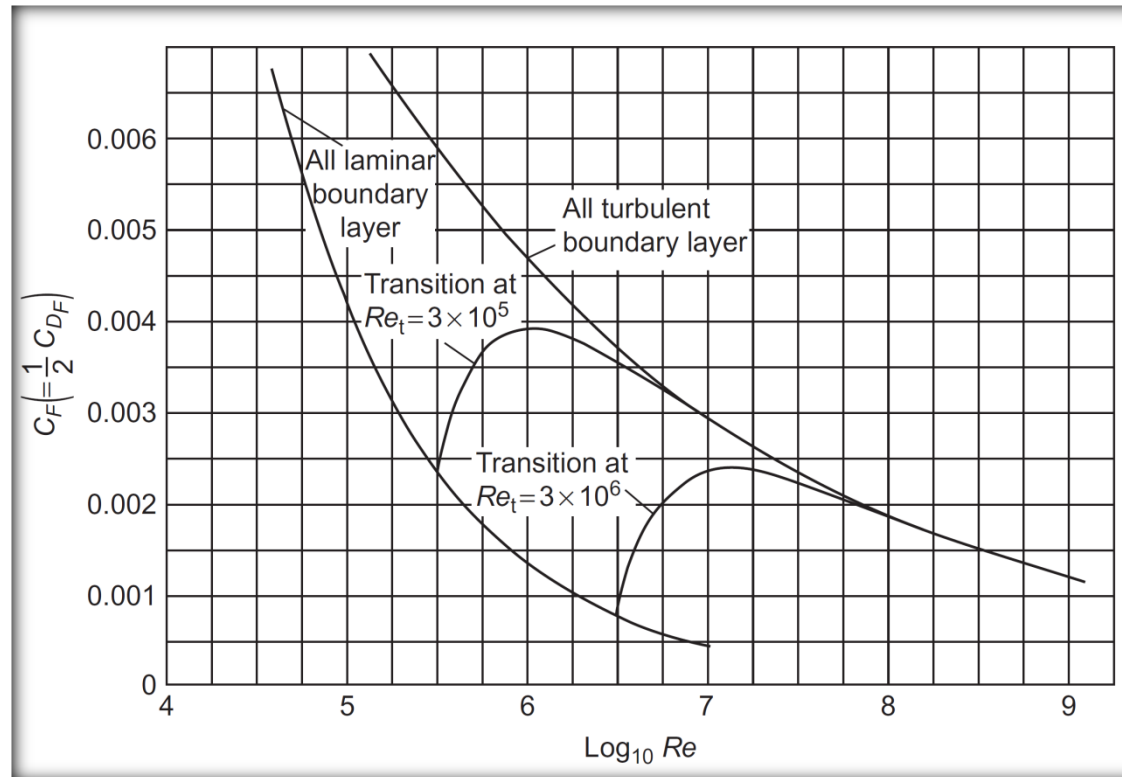
Wynika stąd, że naprężenia styczne wzdłuż płyty zmieniają się zgodnie ze wzorem

$$\tau_w = 0.0298 \rho \nu^{1/5} U_\infty^{9/5} x^{-1/5}$$

Całkowity współczynnik tarcia obliczamy następująco

$$\begin{aligned} C_D &= \frac{1}{\frac{1}{2} \rho U_\infty^2 L} \int_0^L \tau_w(x) dx = \frac{1}{\frac{1}{2} \rho U_\infty^2 L} 0.0298 \rho \nu^{1/5} U_\infty^{9/5} \int_0^L x^{-1/5} dx = \\ &= \frac{0.0596}{L} \frac{\nu^{1/5}}{U_\infty^{1/5}} \frac{5}{4} L^{4/5} = 0.0745 \left(\frac{\nu}{U_\infty L} \right)^{1/5} = \frac{0.0745}{\text{Re}_L^{1/5}} \end{aligned}$$

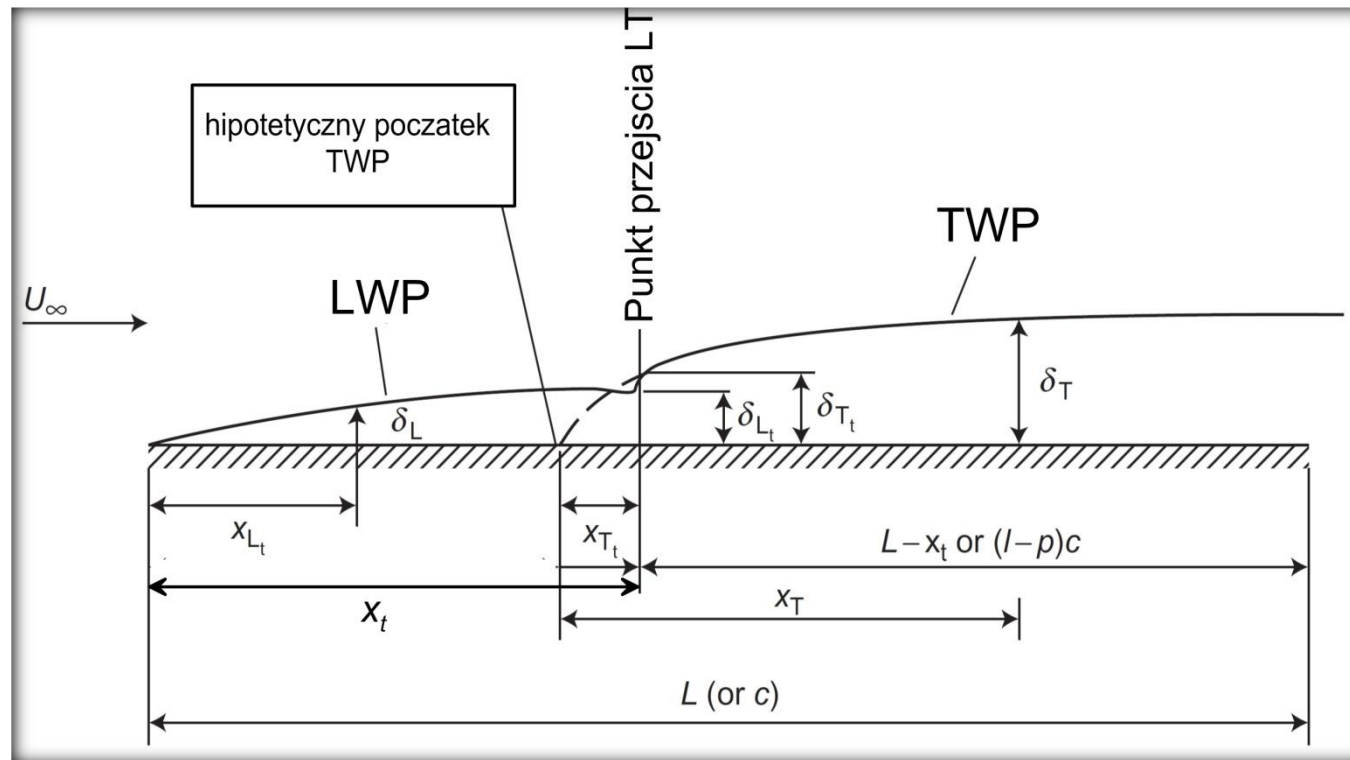
UWAGA: jest to współczynnik oporu tarcia w przypadku, gdy WP jest turbulentna od samego początku!



Zależność współczynnik tarcia od lokalnej liczby Reynoldsa (źródło: E.L. Houghton et al.: Aerodynamics for Engineering Students, 6th Ed., Elsevier Ltd., 2013)

W przypadku profili aerodynamicznych, pewna początkowa część WP jest laminarna. Jeżeli w tej części nie nastąpi oderwanie to opór tarcia jest mniejszy.

Opór tarcia – przypadek warstwy laminarnej mieszanego typu



Warstwa przyścienna z przejściem laminarno-turbulentnym na płaskiej płycie (źródło: (źródło: E.L. Houghton at al.: Aerodynamics for Engineering Students, 6th Ed., Elsevier Ltd., 2013)

$$\text{Hipotetyczny początek TWP: } \delta_{T_t} = \frac{0.383x_{T_t}}{\sqrt[5]{(\text{Re}_x)_{T_t}}} = 0.383 \left(\frac{\nu}{U_\infty} \right)^{1/5} x_{T_t}^{4/5} \Rightarrow x_{T_t}$$

Odległość od „noska” do hipotetycznego początku TWP: $x_t = \frac{\nu}{U_\infty} \text{Re}_t$

Grubość straty pędu w LWP w punkcie $x = x_t$:

$$\theta_{L_t} = 0.646 \frac{x_t}{\sqrt{\text{Re}_t}} = 0.646 \left(\frac{\nu}{U_\infty} \right)^{1/2} x_t^{1/2} = 0.646 \frac{\nu}{U_\infty} \sqrt{\text{Re}_t}$$

Grubość straty pędu TWP w punkcie $x = x_t$: $\theta_{T_t} = 0.037 \frac{x_{T_t}}{(\text{Re}_x)_{T_t}^{1/5}}$

W punkcie przejścia grubość straty wydatku musi być ciągłą funkcją x (w przeciwnym razie naprężenia styczne na ścianie w tym punkcie nie byłyby dobrze określone – vide r-nie Karmana z zerowym gradientem ciśnienia). Mamy zatem $\theta_{L_t} = \theta_{T_t}$, czyli

$$0.646 \sqrt{\frac{\nu x_t}{U_\infty}} = 0.037 \frac{(x_{T_t})^{4/5} \nu^{1/5}}{U^{1/5}} \Rightarrow x_{T_t} = 35.5 \frac{\nu}{U_\infty} \text{Re}_t^{5/8}$$

Efektywna długość TWP to $L - x_t + x_{T_t}$

Z równania Karmana dla WP z zerowym gradientem ciśnienia wynika, że całkowita siła tarcia na odcinku $[a,b]$ jest równa

$$\tau_w = \rho U_\infty^2 \theta' \Rightarrow D_f = \int_a^b \tau_w dx = \rho U_\infty^2 [\theta(b) - \theta(a)] = \rho U_\infty^2 \Delta\theta|_{[a,b]}$$

Zauważmy, że zmiana grubości straty wydatku w LWP na odcinku $[0, x_t]$ jest taka sama jak w TWP na odcinku $[x_t - x_{T_t}, x_t]$, zatem **w oby przypadkach opór tarcia jest identyczny!**

W takim razie, opór tarcia całej WP jest taki jak opór TWP na odcinku $[x_t - x_{T_t}, L]$.

Mamy

$$D_f = \frac{1}{2} \rho U_\infty^2 \cdot 0.0595 \left(\frac{\nu}{U_\infty} \right)^{1/5} 1.25 (L - x_t + x_{T_t})^{4/5}$$

Stąd, całkowity współczynnik opory tarcia to

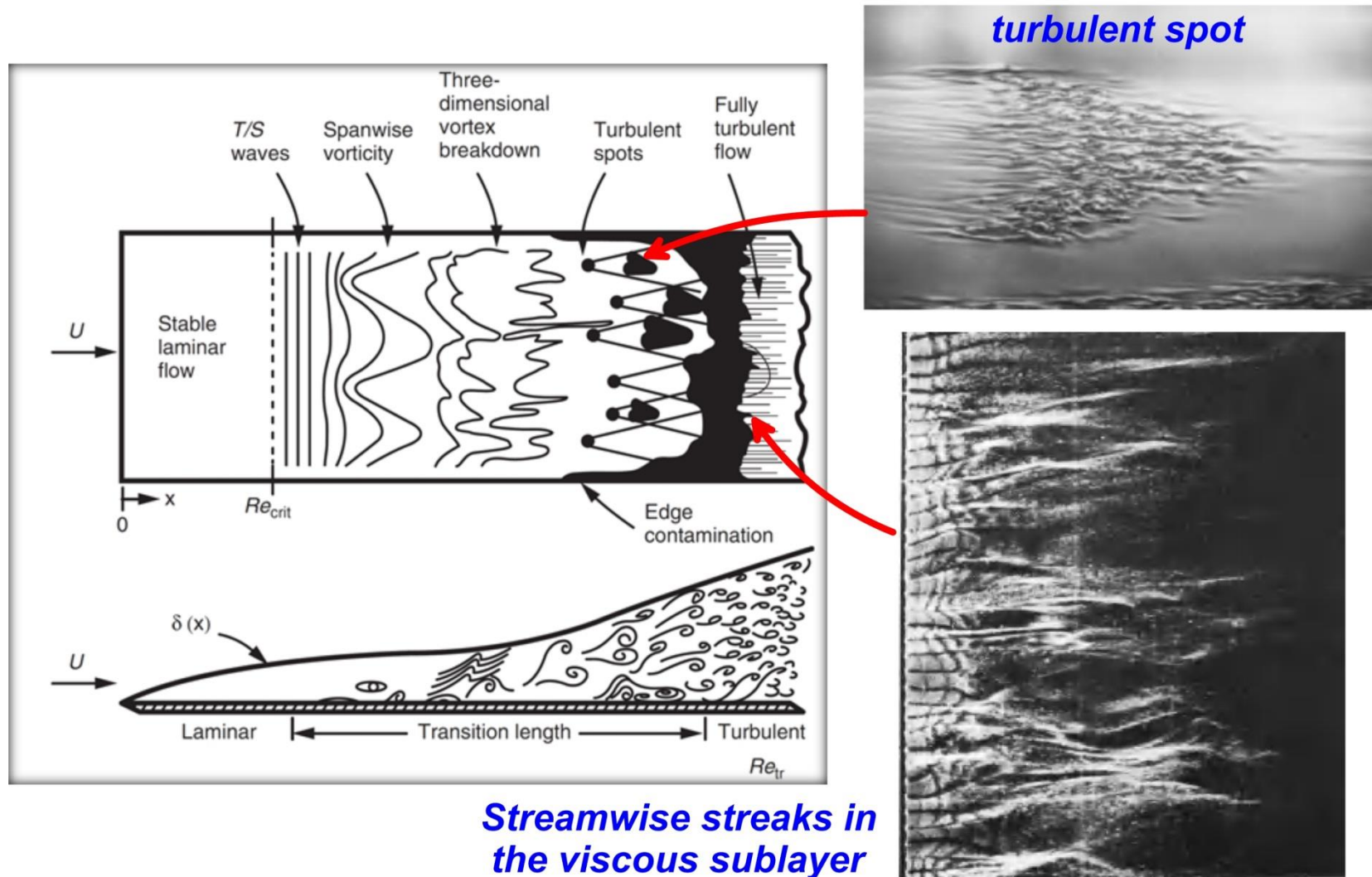
$$\begin{aligned}
 C_{D_f} &= \frac{D_f}{\frac{1}{2}\rho U_\infty^2 L} = 0.0744 \left(\frac{\nu}{U_\infty} \right)^{1/5} \frac{(L - x_t + x_{T_t})^{4/5}}{L} = \\
 &= 0.0744 \frac{\nu}{U_\infty L} \left(\frac{U_\infty L}{\nu} - \frac{U_\infty x_t}{\nu} + \frac{U_\infty x_{T_t}}{\nu} \right)^{4/5} = \\
 &= \frac{0.0744}{\text{Re}} (\text{Re} - \text{Re}_t + 35.5 \text{Re}_t^{5/8})^{4/5}
 \end{aligned}$$

Uwaga: Otrzymana formuła obowiązuje oczywiście tylko gdy $\text{Re} > \text{Re}_t$. W przeciwnym razie cała warstwa jest LWP i obowiązuje formuła

$$C_{D_f} = \frac{2.586}{\sqrt{\text{Re}}}$$

ZJAWISKO PRZEJŚCIA LAMINARNO-TURBULENTNEGO W WARSTWIE PRZYŚCIENNEJ

Ogólna struktura obszaru przejścia (przejście naturalne)



Typy przejścia

1. Przejście naturalne (niski poziom pulsacji prędkości i ciśnienia w przepływie zewnętrznym, gładkie powierzchnie).
2. Przejście typu by-pass (wysoki poziom pulsacji prędkości i ciśnienia w przepływie zewnętrznym, powierzchnie z wadami powierzchniowymi (np. szorstkość, pofalowanie, wady lokalne))

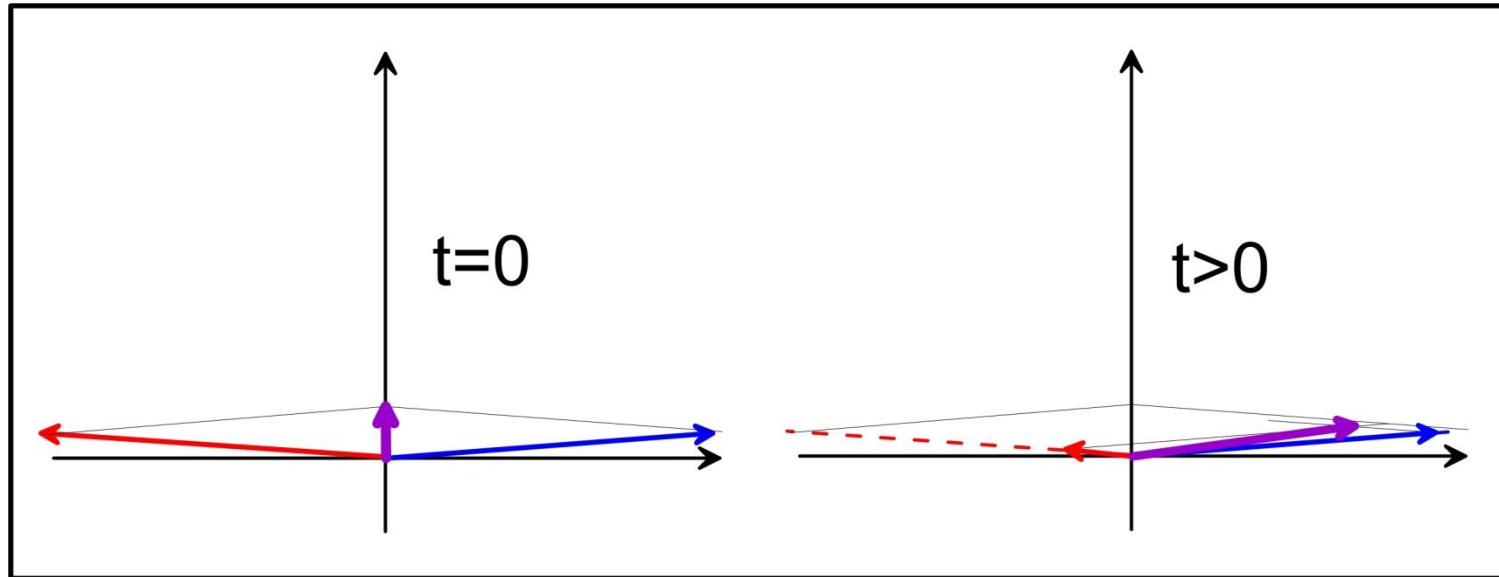
Mechanizm pierwotnego wzmocnienia małych zaburzeń

1. Modalny – wykładniczy wzrost amplitudy niestabilnych (liniowo) modów pola zaburzeń. Jest to główny mechanizm wzrostu zaburzeń w początkowej fazie przejścia naturalnego.

$$[u', v', w', p'](t, x, y, z) = \Re \{ [A_u, A_v, A_w, A_p](y) \exp[i(\alpha x + \beta z - \omega t)] \}$$

$$\omega, \beta \in R \quad , \quad \alpha = \alpha_r + i\alpha_i \in C \Rightarrow \text{niestabilność, gdy } \alpha_i < 0$$

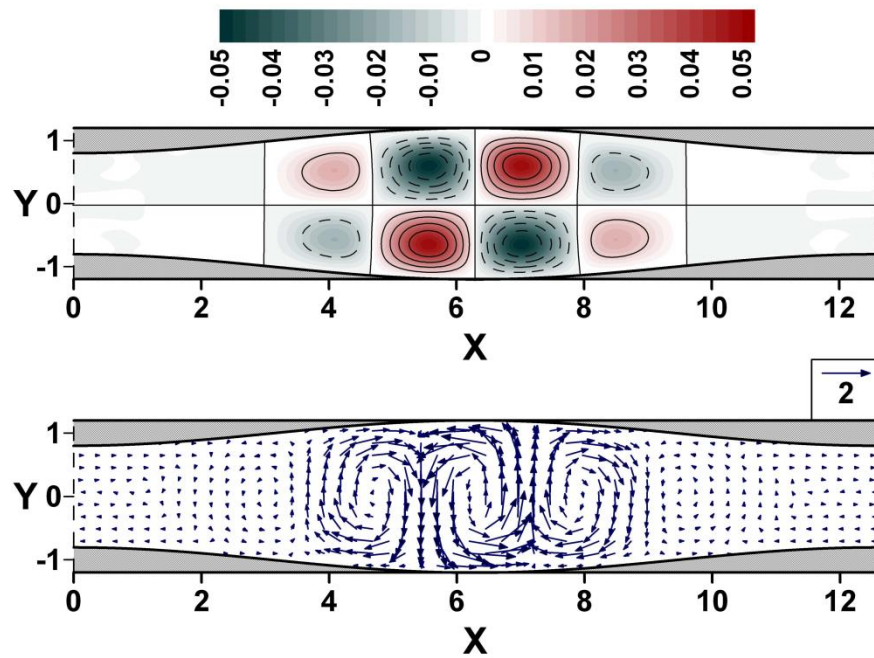
2. Niemodalny (algebraiczny) – wzrost amplitudy zaburzeń wynikający z nieortogonalności modów własnych. Odgrywa kluczową rolę z pierwszej fazy przejścia typu by-pass.



Stan początkowy – pierwotne trójwymiarowe mody (stabilne liniowo!) w formie wzdłużnie zorientowanych wirków (dominuje zaburzenie w płaszczyźnie poprzecznej do głównego kierunku przepływu, czyli u' jest mniejsza niż v' i w').

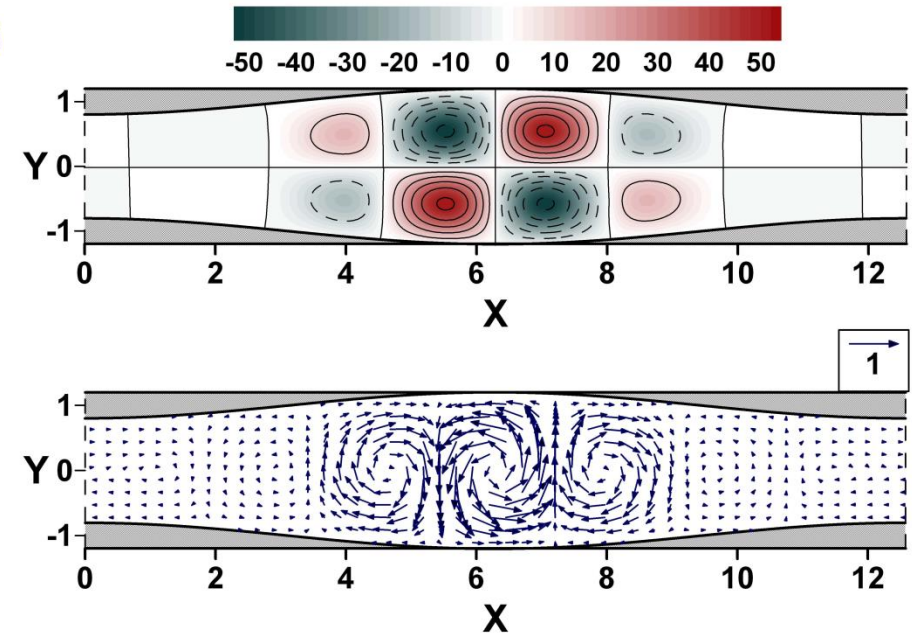
Stan końcowy – w momencie maksymalnego wzmocnienia pojawia się silna składowa wzdłużna, tj. $u' \gg v', w'$. Składowa u' podlega silnej modulacji w kierunku z (spanwise) – pojawiają się „streamwise streaks”.

Przykład: algebraiczne wzmocnienie zaburzeń w kanale z poprzecznym pofalowaniem



$t = 0$

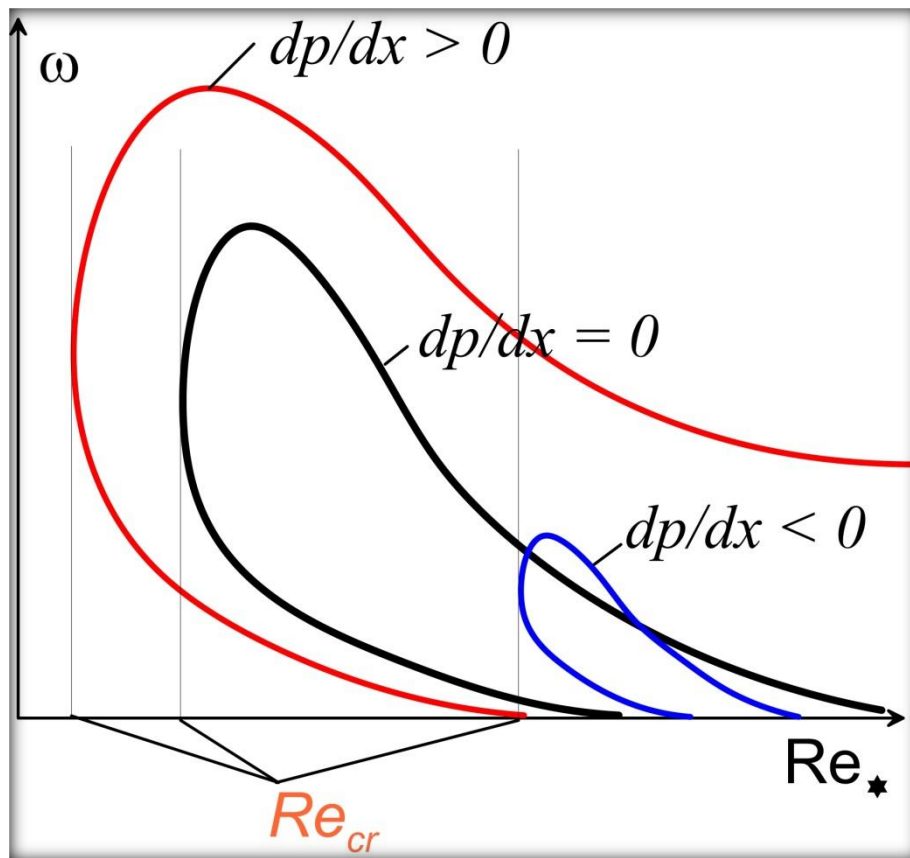
$Re = 1000$
 $S = 0.2, \alpha = 0.5$
 $\delta_* = \beta = 0$



$t = 96$

Wzdłużna składowa pola zaburzeń wzrosła ok. 1000 razy!

Analiza stabilności liniowej dwuwymiarowej warstwy laminarnej



1. Mod krytyczny – liczba Reynoldsa (oparta np. na grub. straty wydatku δ_*) odpowiadająca stanowi stabilności neutralnej jest najmniejsza).

2. Obszar stateczności – wewnątrz pętli utworzonej przez linię neutralnej stabilności.

3. Dla $dp/dx \leq 0$ i $Re_* \rightarrow \infty$ (czyli w granicy znikającej lepkości) obie gałęzie linii neutralnej dążą asymptotycznie do osi poziomej – obszar niestateczności kurczy się!

Nie jest tak jeśli $dp/dx > 0$ bowiem wówczas profil prędkości w warstwie ma punkt przegięcia i dla dowolnie wielkich liczb Reynoldsa pozostaje (w pewnym zakresie częstości ω) niestateczny (kryterium Fjortofta)

4. Zaburzenia mają charakter fal biegnących (fale Tollmiena-Schlichtinga). W warstwach samopodobnych (Falkner-Skan) zakres liczb falowych odpowiadający najbardziej niestabilnym falom TS to w przybliżeniu $[0.25-0.35]$ (jednostką długości jest grubość straty wydatku), co odpowiada długości fal TS ok. 6-7 grubości δ_{99} .

5. Stabilność fal TS silnie zależy od gradientu ciśnienia: dodatni gradient ciśnienia destabilizuje fale TS (i – generalnie – prowadzi do wcześniejszego przejścia), ujemny – odwrotnie.

Przykładowo: krytyczna liczba Reynoldsa dla

- warstwy Blasiusa (płaska płyta, zerowy gradient ciśnienia) to $Re_{*,cr} \approx 520$.
- warstwy Falknera-Skan z parametrem $m = -0.075$ (dodatni gradient ciśnienia odpowiadający opływowi górnej powierzchni płaskiej płytki ustawionej pod dodatnim kątem natarcia ok. 14.6 stopnia) to $Re_{*,cr} \approx 130$
- warstwy Falknera-Skan z parametrem $m = 0.075$ (ujemny gradient ciśnienia odpowiadający opływowi górnej powierzchni płaskiej płytki ustawionej pod ujemnym kątem natarcia ok. 12.5 stopnia) to $Re_{*,cr} \approx 2000$

Przypomnienie: dla warstwy Blasiusa

$$Re_* = \frac{U_\infty \delta_*}{\nu} \approx 1.721 \frac{U_\infty}{\nu} \frac{\sqrt{\nu x}}{\sqrt{U_\infty}} = 1.721 \sqrt{\frac{U_\infty x}{\nu}} = 1.721 \sqrt{Re_x}$$

czyli $Re_x \approx 0.338 Re_*^2$ Teoretycznie zatem, $Re_{x,cr} \approx 91300$.

Faktyczne miejsce przejścia (w wariacie naturalnym) – o wiele dalej (Re_t rzędu setek tysięcy i więcej). Wynika to m.in. z dość powolnego (w pierwszej fazie) narastania amplitudy fal T-S wzdłuż LWP. W pewnym momencie – wskutek wtórnej niestabilności – zaburzenia stają się silnie trójwymiarowe. Dalszy proces ma charakter nagłej „erupcji” chaosu w przepływie (wzmocnienie zaburzeń 3D jest bardzo silne) – niewielki dystans dalej mamy już warstwę turbulentną. Na krótkim odcinku następuje znaczące pogrubienie warstwy – grubość straty pędu w obszarze przejścia zmienia się stopniowo, ale współczynnik kształtu gwałtownie spada.

Położenie przejścia zależy istotnie od gradientu ciśnienia, jakości powierzchni oraz poziomu zaburzeń „absorbowanych” przez warstwę z przepływu zewnętrznego (poziom turbulencji, zaburzenia akustyczne).

Inżynierskie (co nie znaczy, że prymitywne!) metody określania „punktu” przejścia polega na założeniu, że jego położenie wynika ze „skumulowanego” efektu wzmocnienia dwuwymiarowych fal T-S. Lokalny współczynnik wzmocnienia wynika z analizy liniowej stabilności przepływu z lokalnym profilem prędkości. Uznaje się, że przejście ma miejsce gdy skumulowane wzmocnienie najsilniej niestabilnych modów T-S przekroczy czynnik równy e^N , gdzie wykładnik N określa się na podstawie doświadczenia (również symulacji numerycznych). **Jest to tzw. metoda „e do N-tej”.** We współczesnej wersji jest ona zaimplementowana w popularnym programie XFOIL.